

Modelo conceptual para la determinación del ancho efectivo de un dique vertical empleando datos de campo y el parámetro adimensional de altura de ola, H_0

VICENTE NEGRO VALDECANTOS (*)

OVIDIO VARELA CARNERO (**)

JAIME GARCÍA PALACIOS (***)

RESUMEN La respuesta ante el oleaje incidente de una estructura marítima se determina en función de los datos de clima mediante ensayos en modelo reducido de la sección alimentados con bases reales, o esquemas conceptuales, preliminares o multiparamétricos en función de las fuentes de campo. El conocimiento y la evolución de obras que llevan años resistiendo temporales de distintas direcciones, intensidades, distribuciones olas/periodos, permite el contraste y calibrado de parámetros sencillos. Es el caso del monomio adimensional de altura de ola que ha permitido primeramente centrar el comportamiento de estructuras convencionales de fallo gradual en talud (Van der Meer, $1 < H_0 < 4$; Burcharth-Friegaard, $H_0 < 3$; Negro et al., $H_0 = 2$), y el análisis para obras rígidas de fallo instantáneo que se presenta a continuación $H_0 < 1$.

CONCEPTUAL MODEL TO DETERMINE THE EFFECTIVE WIDTH OF A VERTICAL BREAKWATER, USING FIELD DATA AND THE NONDIMENSIONAL PARAMETER WAVE HEIGHT, H_0

ABSTRACT The response of a maritime structure to the incident wave swell is determined according to climate data, by means of reduced model tests on a section using real bases, or conceptual, preliminary or multi-parameter methods, according to the field sources. Knowledge of works, and their evolution, when they have for years been withstanding storms of different orientations, intensities and wave/period distribution, permits a contrast and calibration of single parameters to be made. This is the case with the nondimensional wave height monomial which has permitted us, first of all, to focus on the behaviour of conventional structures with a gradual slope failing (Van der Meer, $1 < H_0 < 4$; Burcharth-Friegaard, $H_0 < 3$; Negro et al., $H_0 = 2$), and the analysis for rigid structures with an instantaneous failing which we present below, $H_0 < 1$.

Palabras clave: Oleaje; Dique vertical; Datos de campo; Altura de ola; Estructuras marítimas; Datos climáticos; Ensayos; Módulos reducidos.

1. ESQUEMA TEÓRICO

La determinación de la respuesta de una estructura marítima ante los agentes activos del Clima, principalmente el oleaje, puede plantearse de manera escalonada mediante modelos sencillos o conceptuales, esquemas paramétricos o multiparamétricos preliminares o modelos físicos alimentados con datos reales. La posibilidad de disponer de órdenes de magnitud de los fenómenos y las consecuencias que éstos

derivan, sin entrar en sofisticados y complicados modelos con concretas incertidumbres, ha llevado a los autores a analizar en función de Datos Reales difícilmente homogeneizables, la tipología estructural convencional y su relación con parámetros estáticos de altura de ola y periodo adimensional.

Es conocida la aleatoriedad de nuestras acciones y el grado de riesgo e incertidumbre con el que se calculan las obras marítimas, así como, la dificultad de definir nuestro oleaje de diseño con su apellido, $H_1, H_{max}, H_s, H_1, H_{1/3}, H_{1/10}, \dots$

por tanto, se han elegido para el calibrado los parámetros adimensionales siguientes:

$$\text{Altura de ola adimensional: } H_0 = \frac{H_s}{\Delta D_{vss}}$$

(*) Dr. Ingeniero de Caminos, Canales y Puertos. Profesor Titular U.P.M. Ciudad Universitaria. Madrid.

(**) Dr. Ingeniero de Caminos, Canales y Puertos. Asesor Obras Marítimas, Dragados y Construcciones, S.A. Madrid.

(***) Ingeniero de Caminos, Canales y Puertos. INTECSA. Madrid.

$$\text{Período de ola adimensional: } T_0 = T_n \sqrt{\frac{g}{D_{\text{nom}}}}$$

siendo,

H_s Altura de ola significante o promedio del tercio de olas más altas (m)

Δ Coeficiente relativo de densidades (-)

$$\frac{\gamma}{\gamma_w} - 1$$

γ Peso específico de la pieza (t/m^3)

γ_w Peso específico del agua del mar (t/m^3)

D_{nom} Diámetro nominal medio de las piezas (m)

T_n Período medio (seg)

g Gravedad de la tierra (m/s^2)

En España, es clásico emplear el lado del cubo equivalente de Iribarren (1965), para representar $\sqrt{\frac{W}{\gamma}}$, cuyo sentido físico parece más comprensible, si bien, el empleo del diámetro nominal medio pueda referirse como:

$D_s = 0,65 D$ Tetrápodos

$D_s = 0,70 D$ Acrópodos

$D_s = D$ de Bloques

$D_s = 0,57 D$ Dulos

siendo,

D Altura de la unidad considerada (m)

Este parámetro de ola adimensional nos permite definir las estructuras marítimas de una forma sencilla, destacando la clasificación en la Tabla I.

Este criterio estático (H_0) y dinámico ($H_0 T_0$) unido al comportamiento ante al acción incidente, respuesta estructural y a los criterios de diseño pueden conducir al óptimo riesgo-económico-funcional de una Obra Marítima. La Tabla II muestra los conceptos descritos.

Si a esto se une el modelo,

- Económico
- Riesgo
- Probabilidad del fallo-multivariabilidad

Las incertidumbres del sistema en función del oleaje de diseño, distribuciones de alturas de ola, porosidad y permeabilidad estructural, naturaleza de la pieza y número de puntos de contacto, número de capas, disposición de las mismas, parte de la estructura y componente de ejecución pueden conducir a un diseño más estable y resistente de las estructuras marítimas.

Sobre estos conceptos previos y sobre Datos Reales difícilmente homogeneizables, con cálculos de secciones mediante modelos determinísticos, sin sensibilidad en cuanto a los períodos de retorno, pero en función de secciones que llevan resistiendo los embates de las olas durante más de un hiperciclo de datos, se calibró y ajustó para diques convencionales en talud, y el criterio de Burcharth y Friegaard, 1987, $H_0 < 3,00$ para iniciación de avería en marras, definiendo:

$H_0 = 2,00$	Inicio de avería
	Estructura deformable
	Morro de manto de bloques

Se adjunta a continuación la Tabla III justificativa de este ajuste.

Este parámetro permitía relacionar las clásicas teorías monomátricas con criterios de oleaje irregular y el con-

TIPOLOGÍA ESTRUCTURAL	$H_0 = \frac{H_s}{\Delta D_{\text{nom}}}$	$H_0 T_0 = \frac{H_s}{\Delta D_{\text{nom}}} T_n \sqrt{\frac{g}{D_{\text{nom}}}}$
Diques Verticales-Cajones	<1	<100
Diques en talud convencionales	1 - 4	<100
Diques berma, D o S	3 - 6	=100
Taludes escollera	6 - 20	200 - 1.500
Playas de grava	15 - 300	1.000 - 200.000
Playas de arena	>500	>200.000
	CRITERIO ESTÁTICO	
	CRITERIO DINÁMICO	

TABLA I.

Estructura	Respuesta	Comportamiento	Tipo ola	H_0	$H_0 T_0$
Dique Vertical	Fallo instantáneo	Ruina ocasionada por una ola	H_{max}, N	<1	<100
Dique Talud	Fallo gradual	Ruina ocasionada por un tren de olas	$\frac{H_1}{n}$	1 - 4	<100
Dique Berma	Fallo gradual	Ruina ocasionada por un tren de olas	$\frac{H_1}{n}$	3 - 6	100
Taludes Granulares	Fallo gradual	Ruina ocasionada por un tren de olas	$\frac{H_1}{n}$	6 - 20	>200

TABLA II.

Naturaleza de la obra	Peso del manto exterior	Diámetro nominal	Altura de ola	η
Fuenterrabía, escollera	9 t	1,50 m	5,00 m	2,04
Orio, bloque calizo 2,80	13 t	1,66 m	5,85 m	2,02
Gerona, escollera	20 t	1,96 m	6,63 m	2,12
Bermeo, 1ª Fase	50 t	2,75 m	7,13 m	1,93
Bermeo, 2ª Fase	85 t	3,30 m	9,00 m	2,03
Bilbao, Punto Lucero	150 t	4,00 m	10,10 m	1,88
Lastres	40 t	2,55 m	6,80 m	1,98
Grón	120 t	3,70 m	9,60 m	1,94
Cerdas (Dato y avería)	27 t	2,25 m	4,95 m	1,64
San Esteban	125 t	3,70 m	8,75 m	1,77
Cudillero	60 t	2,92 m	8,00 m	2,04
Burela	72 t	3,10 m	7,45 m	1,79
San Ciprián	90 t	3,35 m	8,90 m	1,98
Cillerio	28 t	2,25 m	6,25 m	2,06
Carreño, escollera	12 t	2,05 m	5,00 m	1,96
Molpica	120 t	3,68 m	10,70 m	2,16
Lage	20 t	2,05 m	5,00 m	1,96
Finistere	15 t	1,85 m	5,00 m	2,09
Panjón	5 t	1,28 m	3,18 m	1,85

TABLA III.

cepto adimensional de avería de Broderick, S , y las unidades desplazadas N_{ad} y movidas, N_{move} .

$$S = \frac{A}{D_n^2} \quad A \text{ Área de la sección erosionada} \quad (\text{m}^2) \\ D \text{ Diámetro nominal} \quad (\text{m}) \\ S \text{ Parámetro de avería adimensional} \quad (-)$$

Comparando los clásicos conceptos de Brehner y Dunelly o Hudson, con las averías teóricas de Van der Meer, Ahrens, Losada, Medina...

$$(K_B \cot \alpha)^{\frac{1}{3}} \Leftrightarrow N_i \Leftrightarrow H_0 = \frac{H_i}{\Delta D_{\text{res}}} \Leftrightarrow \frac{H_i^{\frac{2}{3}} H_0^{\frac{1}{3}}}{\Delta D_{\text{res}}} \Leftrightarrow a(K_B \cot \alpha)^{\frac{1}{3}} S^{\frac{1}{3}}$$

Hudson	Brehner	Van der Meer	Ahrens	Franco
--------	---------	--------------	--------	--------

$$K_B = \frac{1}{\Psi \cot \alpha}, \Psi = A(I_s - I_0) \exp(B(I_s - I_0)), \text{ Losada et al}$$

2. AJUSTE Y CONTRASTE DEL PARÁMETRO DE OLA ADIMENSIONAL SOBRE DATOS REALES EN DIQUES MONOLÍTICOS

Gran parte de nuestros diques monolíticos en la fachada Cantábrica han sufrido una notable evolución en su comportamiento ante la acción de los oleajes. Estos han pasado de ser verticales a convertirse en mixtos, por el fallo global de sus secciones, quedando hoy prácticamente cubiertos por un manto de bloques que cambia el funcionamiento estructural de la sección. Este hecho conlleva a una mayor dificultad en el calibrado del parámetro de ola adimensional.

Así mismo, la evolución de dique vertical a mixto o espaldón y la tipología de modelos en función del dominio de validez de las teorías orbitales

$$\frac{d}{L} > 0,137, \text{ Stokes, ola no rota,}$$

$$\frac{d}{L} < 0,137, \text{ Boussinesq, ola rota, complica aún más, el pro-$$

ceso de calibrado de modelos conceptuales. Así mismo, los múltiples criterios de fallos, Oumeraci (1994), con coeficientes de deslizamiento y vuelco desde estrictos ($= 1$) hasta próximos a 2,00; la dificultad de concretar el coeficiente de fricción a corto y largo plazo (Nagai, 1973), y la realidad del concepto de fuerza uplift o de subpresión nos conduce a una tarea compleja cuya sensibilidad requiere de profunda investigación.

El motivo inicial del trabajo fue la nueva definición del parámetro de ola adimensional, resultando:

$$\frac{H}{\Delta A}$$

donde,

$$H \text{ Altura de ola de diseño, mínimo } (1,80 H_{1/3}, H_s), \text{ Geda (m)}$$

$$\Delta \text{ Coeficiente relativo de densidades} \quad (-)$$

$$A \text{ Ancho efectivo de una estructura resistente} \quad (\text{m})$$

Es usual la admisión de un coeficiente relativo de densidades en estructuras monolíticas de 1,14 a 1,20, suponiendo una densidad media de 2,20 t/m³. Este dato es el resultante

Nº en orden	Dique vertical	Ahoro de dique sin romper [m]	Ahoro de dique rompido [m]	Periodo (sg)	Cota de marés [m]	Prest. o pie de dique [m]	Prod. o pie de cañón [m]	H_s -esb. cúmulo $F=1,00$ $F=1,00$	Ancho sobrante	H_s -esb. Godo $F=1,20$ $F=1,20$	Ancho Godo	H_s -esb. clásico $F=1,50$ $F=2,00$	Ancho distinto	Ancho del cañón A [m]	H_s med. [m]	Comentarios
1	BIAO Nro. Orden	16,90	25,37	18,00	18,00	4,50	13,0	20,00	0,52	30,00	0,63	26,00	0,35	4,10	32,00	0,52 Efectivo
2	ZARZUELA Tijeret	9,90	5,91	12,00	0,80	1,20	8,00	5,00	0,49	10,50	0,41	12,50	0,33	1,50	12,66	0,41 Avanza Socavación
2	ALGECIRAS Dique Nuevo	10,80	21,52	10,80	15,00	1,30	32,00	14,00	0,52	16,20	0,45	21,05	0,35	1,45	23,45	0,33 Círculo
4	IBERIA Dique del Rio	8,68	10,77	8,45	5,00	2,20	30,00	15,00	0,68	10,00	0,56	12,22	0,48	1,70	13,65	0,47 Efectivo
5	IBERIA Los Jarras	8,10	11,97	8,10	15,00	2,20	40,00	12,00	0,71	10,00	0,59	12,00	0,47	1,70	12,90	0,51 Círculo
6	ROSALES	5,40	11,58	5,40	12,00	2,54	15,00	10,00	0,60	7,80	0,53	8,80	0,43	1,20	9,80	0,52 Efectivo
7	GOMERA	9,90	12,12	9,90	15,00	1,00	20,50	13,00	0,68	9,60	0,72	11,80	0,62	1,80	15,85 Muy Círculo	0,55 Círculo
8	GOMERA Dique Nella	9,90	11,91	9,80	6,00	3,00	25,00	13,00	0,60	9,60	0,69	11,80	0,58	1,20	15,65	0,55 Círculo
9	SOCOS CHIRIBONGS	9,90	20,42	10,00	16,00	2,50	14,00	12,00	0,72	12,00	0,59	14,20	0,48	1,85	15,65	0,55 Círculo
10	SANTA CRUZ DE LA PALMA	9,90	15,69	10,00	10,00	2,60	27,00	13,00	0,92	19,70	0,75	18,10	0,57	1,90	13,90	0,55 Círculo
11	MANGA	10,80	14,40	10,80	10,00	0,60	26,00	20,00	0,80	13,80	0,65	14,50	0,55	1,00	21,25	0,44 Círculo
12	JAS RIBAS Barre Salin	10,80	21,22	10,80	15,00	2,70	30,00	15,00	0,70	13,40	0,56	16,10	0,47	2,10	18,50	0,51 Círculo
13	MARIN Dique Chir	8,10	10,89	8,100	15,00	4,50	10,50	7,00	0,50	14,20	0,41	17,10	0,33	1,40	14,00	0,50 Círculo
14	DEIA	8,10	4,25	13,00	4,50	3,50	3,50 P 1,00 S	0,57	4,50	0,47	7,90	0,28	1,90	7,200	0,51 Círculo	
15	MORROCO	13,20	9,23	9,230	15,00	4,50	12,50 P 0,00 S	0,61	13,20	0,51	15,90	0,40	1,40	20,32	0,40 No considerado en el cálculo	
16	FRANCONE	8,10	4,25	15,00	4,50	5,50 P 1,00 S	5,50 P -1,00 S	0,62	6,00	0,51	7,20	0,42	8,90	8,30	0,45 No considerado en el cálculo	
17	SEBAMED	9,90	5,21	15,00	4,50	5,80 P 1,00 S	4,80 P -2,00 S	0,64	6,70	0,57	8,00	0,45	10,00	12,00	0,50 No considerado en el cálculo	
18	SAN VICENTE	11,70	4,09	0,09	15,00	5,00	1,00 P 2,00 S	1,00 S 1,50 S	0,34	15,70	0,262	18,80	0,27	21,60	10,10 Desacordado	
19	LILAMICO	16,02	3,66	15,00	5,00	13,00 P 1,00 S	7,00 P -2,00 S	0,34	20,20	0,192	24,20	0,25	20,10	9,30 Banco de protección	0,43 Expresión	
20	LASTRES	16,11	9,21	15,00	5,25	12,75 P 7,50 S	-11,75 P -0,50 S	0,52	15,50	0,43	18,60	0,25	7,30	16,40	0,37 Sin datos	
21	TALONES	12,60	6,80	15,00	4,50	4,50 P 4,00 S	4,50 P -4,00 S	0,53	11,20	0,44	13,50	0,15	16,40	10,30 Banco de protección	0,57 Sin datos	
22	CARCHAS	10,80	5,73	15,00	5,25	7,50 P 6,50 S	-6,20 P -1,50 S	0,54	9,30	0,64	11,20	0,15	11,00	9,50	0,52 Efectivo	

TABLA IV.

de un 25 a 30 por ciento de hormigón en cajones de alta densidad (2,40 a 2,50 t/m³), con un acero de armado próximo a 40-45 kg/m³ y un relleno granular con media 1,80 t/m³. Este dato presenta validez para estructuras rígidas convencionales, y no tipologías como ARC o JARLAN con cuantías de

acero superiores a 75 kg/m³, secciones MONOBAR, o japonesas (cámaras convexas tipo Sakata o Furokama, paredes cóncavas tipo Wakayama, multicelulares tipo Yokubo), o cajones especiales tipo BEIRUT con cuantías especiales superiores a 120 Kg/m³.

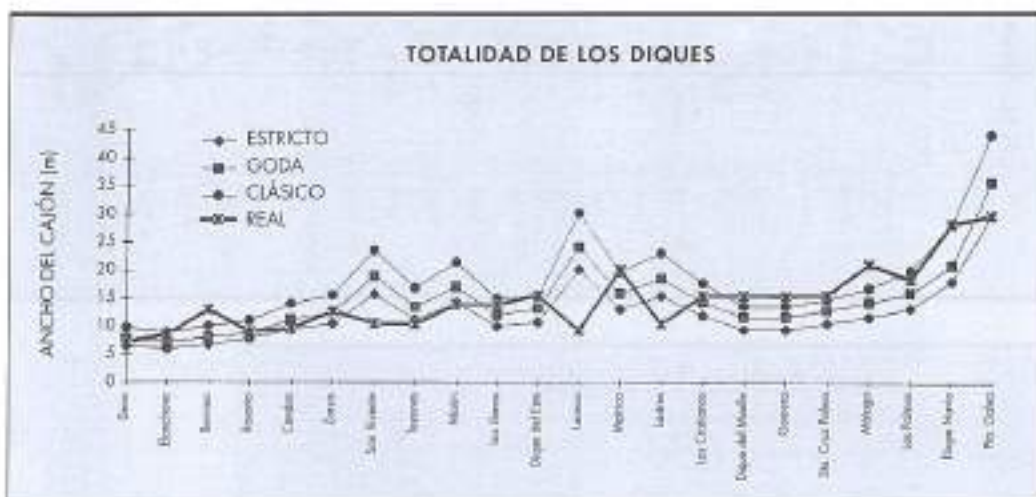


FIGURA 1.

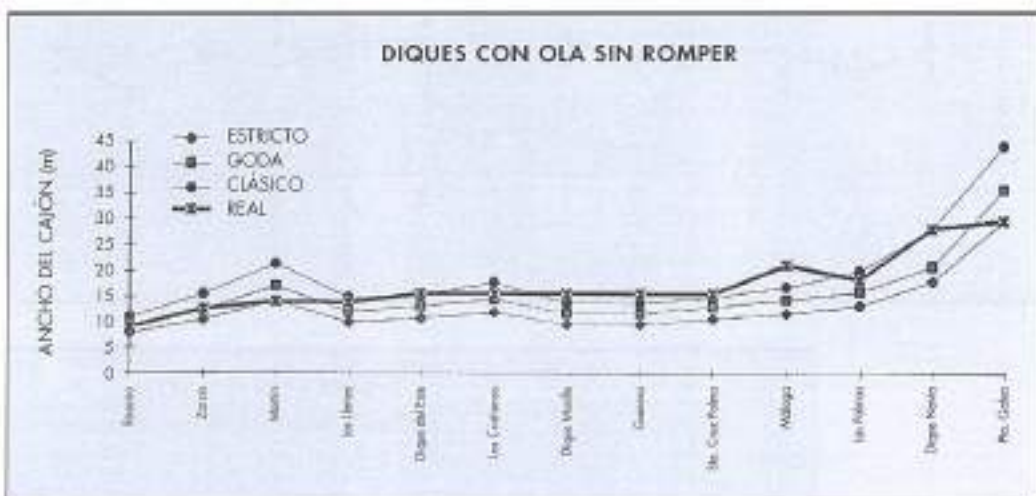


FIGURA 2.

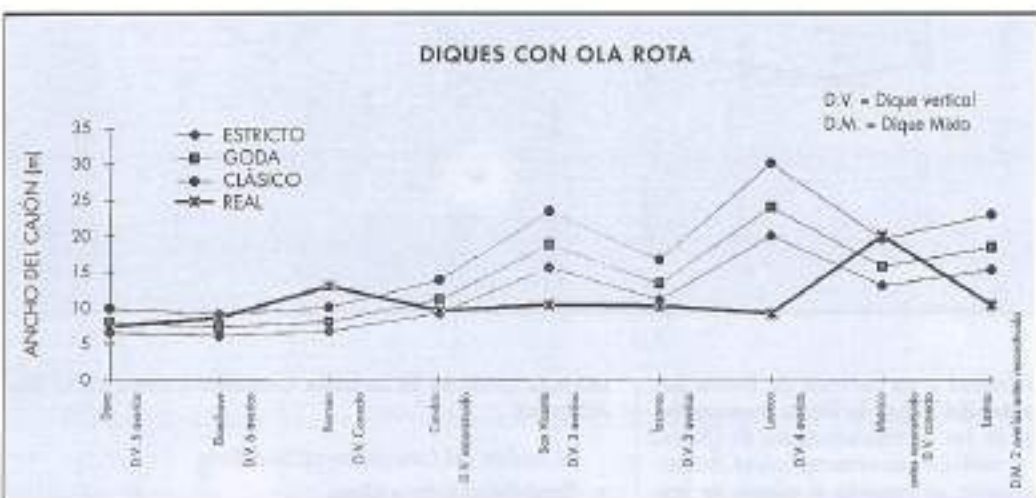


FIGURA 3.

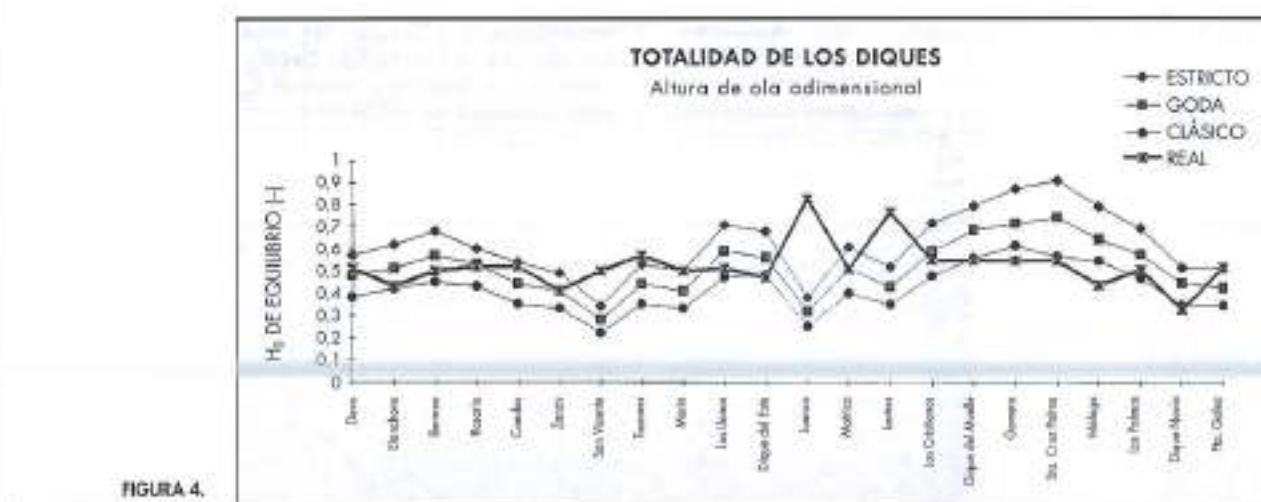


FIGURA 4.



FIGURA 5.

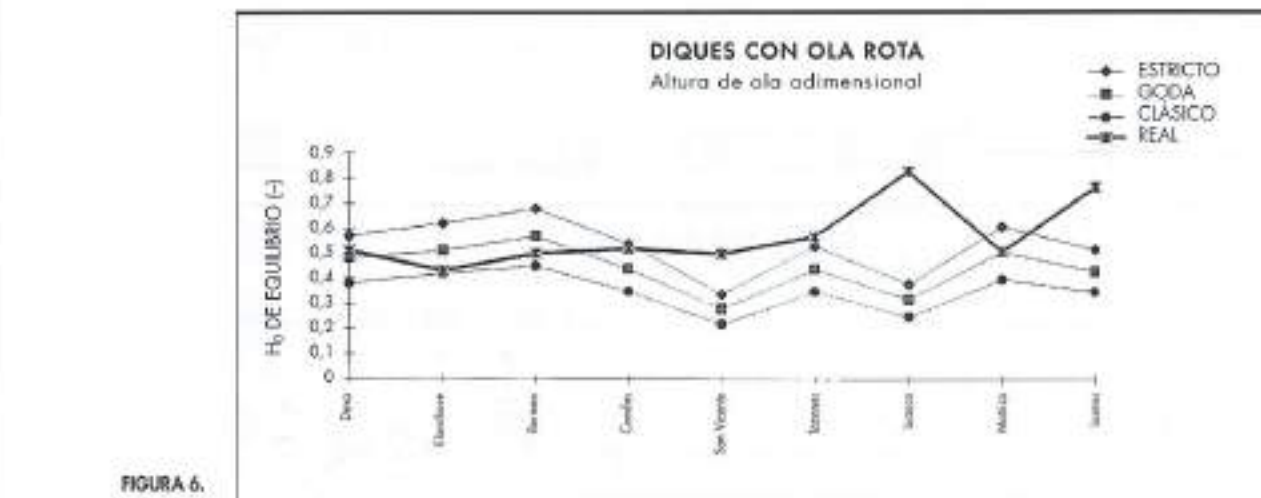


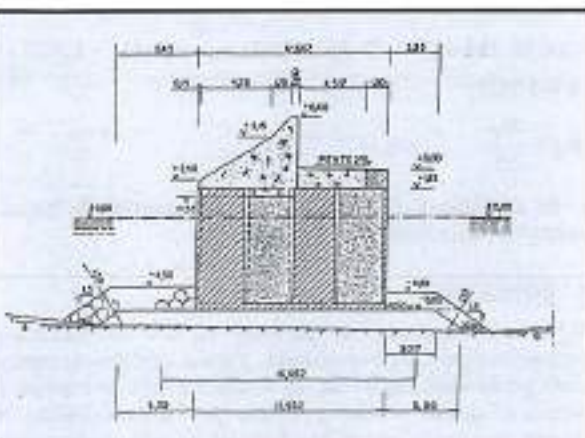
FIGURA 6.

Sobre esta premisa inicial y en función de Datos de Clima Marítimo procedentes del Banco de Datos Oceanográficos y el Atlas de Oleaje de las Recomendaciones de Obras Marítimas (Rom 03/91) y medidas las características físicas y geométricas de las secciones, se procedió al cálculo de las

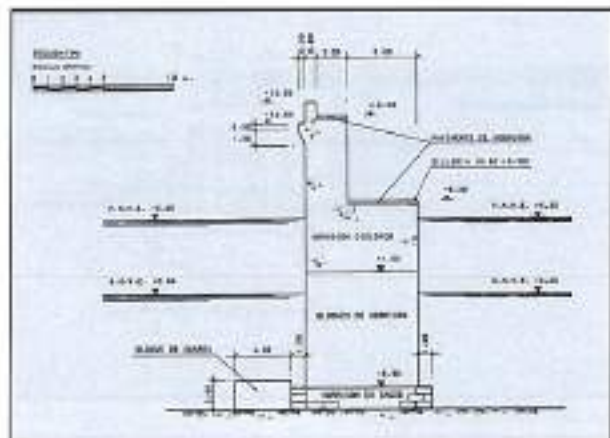
mismas tanto en la fachada Cantábrica como en la Sur Atlántica.

El modelo del Cálculo permitió definir:

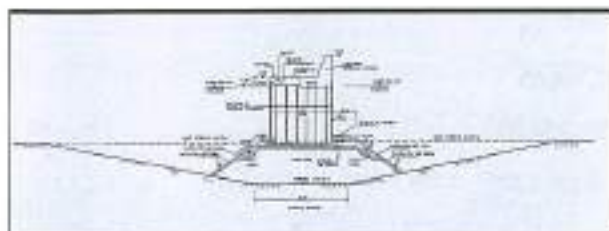
- Estabilidad a corto plazo:



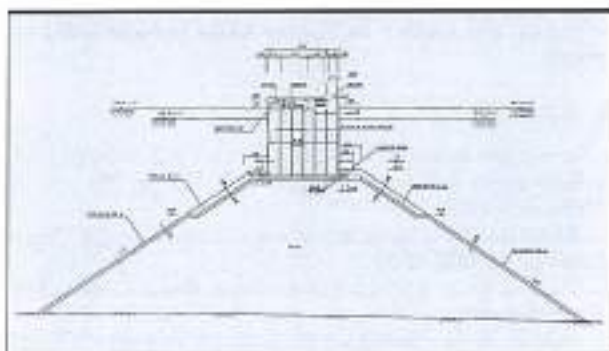
Sección Tipo Dique Vertical de Zarzis, Tínez.



Sección Tipo Dique de los Lotes.



Sección Tipo Dique de Málaga, Nueva Ampliación.



Prolongación del Dique Reina Sofía, Puerto de la Luz y Los Palmas.

$$\rho = 0,60 \text{ (coeficiente de fricción)}, \\ \rho = 0,70 - 0,90 \text{ Nagai a medio - largo plazo.}$$

b. Ancho estudiado:

Ancho con equilibrio estricto: $F_d = 1,00; F_i = 1,00$

Ancho con equilibrio Geda: $F_d = 1,20; F_i = 1,20$

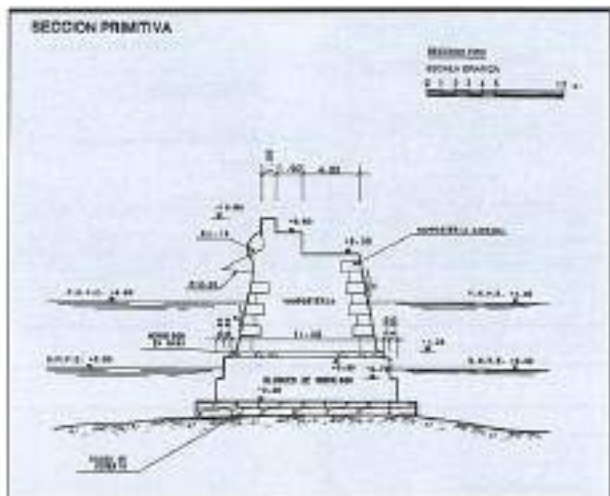
Ancho con equilibrio clásico: $F_d = 1,50; F_i = 2,00$

c. Comparación con el ancho existente:

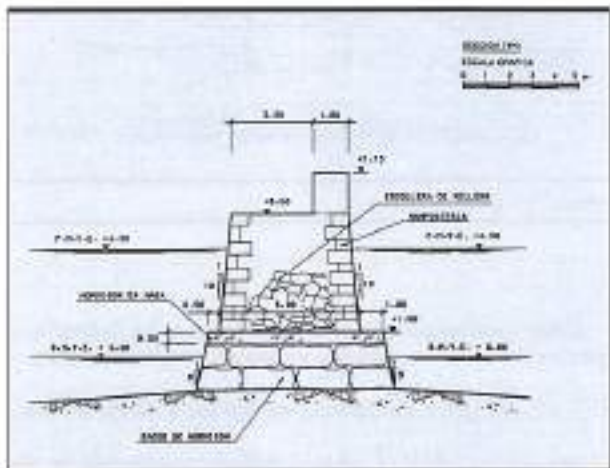
d. Definición de los coeficientes de seguridad:

Deslizamiento = $\frac{\rho(\text{Peso propio} - \text{subpresión})}{\text{Presión dinámica del oleaje}}$

Vuelco = $\frac{\text{Momento peso propio} - \text{Momento subpresión}}{\text{Momento dinámico del oleaje}}$

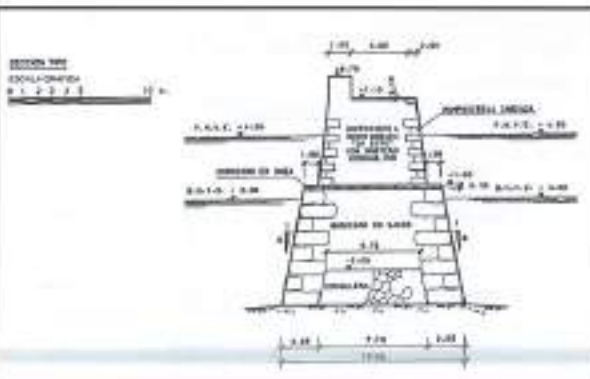


Sección Tipo Dique de Bermeo.

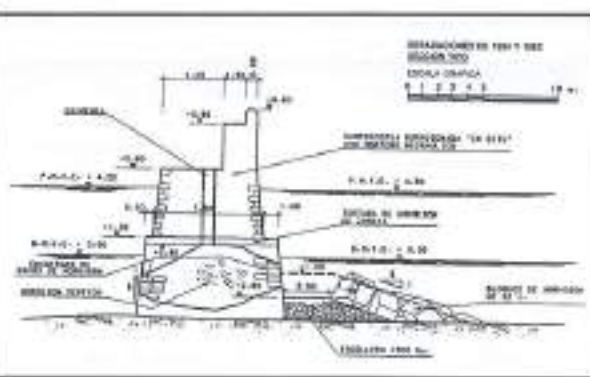


Sección Tipo Dique de El Anchote.

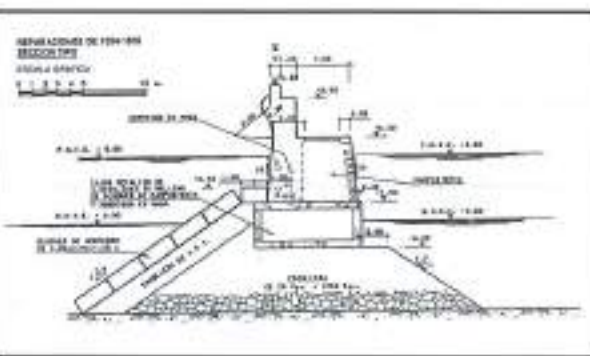
Los cálculos justificativos de las secciones propuestas y las gráficas de ajuste se exponen a continuación. (Tabla IV e Ilustraciones 1 a 6).



Sección Tipo Dique de Motric.



Sección Tipo Dique de Tazones.



Sección Tipo Dique de Lucanco.

Como consecuencia de estos contrastes, se ha llegado a la conclusión de la bondad del ajuste en dominio de Stokes ($\frac{d}{L} > 0,137$) para estructuras sometidas a oleaje no rompiente ($H_d = 1,80 H_1$), obteniendo un parámetro de ola adimensional sobre datos reales cercano a 0,50, proporcionando un ancho efectivo de $1,75 H_d$.

$$H_d = 0,50 \text{ Dominio de Stokes con ola no rota } (H_d = 1,80 H_1)$$

$$A = 1,75 H_d$$

$$H_d = \frac{H_d}{\Delta A}$$

Se adjuntan a continuación algunos ejemplos de las secciones tipo calculadas.

3. CONCLUSIÓN

Tal como recomienda Van der Meer, $H_d < 1$, en estructuras monolíticas de fallo instantáneo, y como modelo conceptual para predimensionamiento del ancho efectivo de cajones de diques verticales, y sobre premisas de obras en dominio de Stokes, por tanto, sometidas a oleaje no rota, el ajuste del parámetro de ola adimensional (H_d) resulta,

$$H_d = \frac{H_d}{\Delta A}$$

$$H_d \approx 0,50$$

$$A = 1,75 H_d$$

$$(H_d = 1,80 H_1), \text{ por tanto, } A = 3,15 H_1.$$

Los ajustes en diques en dominio Bousinesq presentan notables discrepancias debido al cambio de configuración en la tipología, diques inicialmente verticales con fallo global protegidos por mantos de bloques hasta transformarse en mixtos.

4. BIBLIOGRAFÍA

- Inventario de Diques de Ahrigo. Tomo I y II. MOPU. 1988
- Rock slopes and gravel beaches. J. W. Van der Meer. Delft Hydraulics. 1988
- Historical Developments of breakwaters design. Tanemoto y Goda. ICE. 1991
- The design of upright breakwaters. Goda. CERC 1992 (Short Course).
- Análisis de la estabilidad de Diques Rompeolas. Losada et Al. Revista del Agua. 1994.
- Recent developments in the design of mound breakwaters. M. Losada. Chapter 21. ASCE 1990.
- Conceptual design of Rubble Mound Breakwaters. Delft Hydraulics. H 1509. 1993
- On 3-dimensional stability reshaping breakwater. H. Burchardt y P. Friegard. CERC. 1988
- H_d parameters for preliminary Design of Conventional Breakwaters Structural Head. Data Analysis North Coast Harboura. V. Negro. y O. Varela. CERC. 1994.
- Analisis y ajuste del Parámetro para el diseño preliminar de morros de diques en Talud Convencionales, Aplicación a la Fachada Cantábrica. V. Negro. Revista Obras Públicas. Enero 1995.
- Comentarios del profesor Medina y del Profesor Losada al Artículo "Análisis de Estabilidad de Diques Rompeolas". Revista del Agua, N° 4. 1994.

ESTAMOS LLEGANDO MUY LEJOS PARA ACERCARNOS A NUESTROS CLIENTES



Terminal de Pasajeros. Aeropuerto
San Pedro Sula. (Honduras)



Torre de Refrigeración C.N. Ascó
(Tarragona)



Refinería de Petróleos de Conca
(Chile)



Central Térmica de Trinitaria
(Ecuador)

Para poder ofrecerles el mejor servicio. Para ganarnos su confianza. Porque en INITEC nos estamos comprometiendo a nivel mundial. Desarrollando numerosos proyectos en colaboración con grandes empresas y entidades de ámbito internacional. Exportando bienes y servicios

españoles a todo el mundo. Porque cada día se conoce y valora más nuestra tecnología.

Nuestra calidad. Avalada por más de treinta años de experiencia y certificada por AENOR.

Cuanto más crecemos, más cerca estamos de nuestros clientes.



INITEC
Calidad por sistema


TENEZO

C/Padilla, 17. 28006 MADRID. Tel: 587 10 00 Fax: 431 99 62.

HAY CARRETERAS
DONDE NI SIQUIERA MODIFAL
PODRIA EVITAR EL AQUA-PLANNING.



PERO HAY OTRAS MUCHAS DONDE SI PODRIA. DONDE REDUCIRIA EL NIVEL DE RUIDOS (HASTA 3 DECIBELIOS). DONDE DISMINUIRIA LA FORMACION DE RODERAS Y FISURAS, Y RETRASARIA EL ENVEJECIMIENTO DEL FIRME AUN EN LAS CONDICIONES CLIMATOLOGICAS MAS EXTREMAS. REPSOL PRESENTA MODIFAL, EL PRIMER BETUN MODIFICADO EN EL QUE LA DISPERSION DE LOS POLIMEROS EN EL SENO DE LOS BETUNES ES PERFECTA Y HOMOGENEA. ESTA HOMOGENEIDAD ES LA QUE PERMITE A MODIFAL CONSERVAR INTACTAS SUS PROPIEDADES AUN EN PERIODOS PROLONGADOS DE ALMACENAMIENTO. ALGUNAS VECES HAY QUE CAMBIAR ALGO PARA QUE TODO SIGA IGUAL. NOSOTROS HEMOS MODIFICADO NUESTROS BETUNES PARA SEGUIR SIENDO LIDERES EN ASFALTOS.



REPSOL PRODUCTOS ASFALTICOS, S. A.